

## 딸기 $\beta$ -Galactosidase의 정제 및 생화학적 특성

이광희 · 윤경영\* · 김광수\* · 김남우\*\* · 신승렬\*\*\*

대구과학대학 식품영양과, \*영남대학교 식품영양학과,

\*\*경산대학교 자연과학부, \*\*\*경산대학교 생명자원공학부

### Purification and Characteristics of $\beta$ -Galactosidase from Strawberry

Kwang-Hee Lee, Kyung-Young Yoon\*, Kwang-Soo Kim\*, Nam-Woo Kim\*\* and Seung-Ryeul Shin\*\*\*

Department of Food and Nutrition, Taegu Science College

\*Department of Food and Nutrition, Yenugnam University

\*\*Faculty of Natural Science, Kyungsan University

\*\*\*Faculty of Life Resources Engineering, Kyungsan University

#### Abstract

$\beta$ -Galactosidase was extracted and purified from strawberry. The purified  $\beta$ -galactosidase from strawberry was investigated their physicochemical characteristics.  $\beta$ -Galactosidase was purified 25.74 fold from strawberry. The purification procedure include ammonium sulfate fraction, acetone powder treatment and gel and ion exchange chromatography. Yield of the enzyme purification was 18.11%. The purified enzyme has native molecular weight of 116,000 dalton. Vmax value and Km value of  $\beta$ -galactosidase were 0.077 mM ONPG/ml/15min and 1.75x10<sup>-2</sup>mM, respectively. The optimum temperature and pH of  $\beta$ -galactosidase were 43°C and pH 4.0, respectively. The  $\beta$ -galactosidase activity was stable below 50°C and at pH 4.0 to pH 6.0. Among the metal ions Ca and Mg were did not affect, whereas K, Cu and Zn show a little effect on the enzyme activity. The  $\beta$ -galactosidase activities were inhibited by treatment with EDTA and SDS.

Key words :  $\beta$ -galactosidase, strawberry, ripening, galactose

#### 서 론

과실의 성숙과 저장중에 나타나는 연화현상은 세포벽성분의 변화 및 분해와 더불어 발생하며 과실의 상품으로서의 품질에 많은 영향을 미치게 된다. 연화와 관련한 세포벽분해효소에는 polygalacturonase(PG),  $\beta$ -galactosidase, pectinmethylesterase(PME), cellulase, glycosidase 등이 있으며 과실의 종류나 품종에 따라 연화중 관련

효소의 활성변화에 차이가 있다(1).  $\alpha$ -,  $\beta$ -Galactosidase, mannase, xylanase,  $\beta$ -1,3-gluconase 등을 glycosidase에 속하며 그 중  $\beta$ -galactosidase는 pectin이나 hemicellulose의 측쇄결합인  $\beta$ -1,4 galactan이나 arabinogalactan을 분해하여 세포벽의 galactose를 유리시켜 연화를 촉진하는 효소로서, 성숙과 연화중에 그 활성이 증가한다(2~5). Wallner와 Bloom(6)은 토마토의 성숙중에 세포벽의 분해는 glycosidase에 의해 일어나며, 이를 효소는 성숙에 활성이 증가한다고 하였고, Bartley(7)는  $\beta$ -galactosidase는 과실의 pectin의 측쇄결합인 galactan을 분해하여 galactose를 유리시키며, *in vitro* 실험에서도 사과의 조직을 연화시킨다고 보고하였다. 한편 Gross와 Wallner(8)는 토마토 성숙중에  $\beta$ -galactosidase의 활성은 증가하지만 *in vitro*

Corresponding author : Kwang-Soo Kim, Department of Food and Nutrition, Yeungnam University, Kyungsan, Kyungpook, 712-749, Korea  
E-mail : Kwang@yu.ac.kr

실험에서 세포벽의 용해현상이 일어나지 않으며  $\beta$ -galactosidase는 pectin질의 촉쇄결합인 galactan을 분해한다고 보고하였다. 연화중 사과나 딸기, 토마토 등의 세포벽에서 많은 양의 galactose가 손실됨은  $\beta$ -galactosidase의 작용일 것이라는 보고도 있다(9,10). Pessey(11)는 완숙 토마토에서 3종의  $\beta$ -galactosidase isoenzyme를 분리하였고, Kang 등(12)은 깊으로부터 분자량 34,000, 44,000 dalton인  $\beta$ -galactosidase를 분리하였다.  $\beta$ -Galactosidase는 pectin에서 galactose를 유리시킴으로써 과실의 연화를 촉진하는 것으로 알려져 galactose 대사와 관련하여 많은 연구가 진행중이다(13~15).

이에 본 실험에서는 비호흡상승형 과실중에 하나인 딸기의 저장, 가공시 품질향상에 도움이 되는 기초자료가 되리라 사료되어 딸기연화와 많은 관련이 있는  $\beta$ -galactosidase를 분리·정제하여 효소의 생화학적 특성을 조사하였다.

## 재료 및 방법

### 실험재료

본 실험에서는 경북 고령군 일대에서 재배한 '보교'종(*Fragaria grandiflora* Ehrh.) 딸기를 실험재료로 사용하였다.

### $\beta$ -Galactosidase의 추출

효소추출은 Bartley(4)의 방법을 변형하여 사용하였다. 즉, 딸기 500g에 아세톤과 0.2 M Tris-HCl 완충용액(pH 8.9)을 9:1로 혼합한 용액 1000ml를 가하여 균질화 한 다음 Whatman No. 541 여과지로 여과하여 잔사를 5 mM 인산나트륨 완충용액(pH 7.2)에 혼탁하고, 툴루엔 3방울을 가하여 3일간 둔 다음 원심분리하여 상정액을 취하였다. 이를 다시  $(\text{NH}_4)_2\text{SO}_4$ 로 85% 포화, 염석하고 10,000 xg로 10분간 원심분리 한 다음 중류수에 용해하여 10 mM 초산나트륨 완충용액에 48시간 투석하였다. 이 투석액을 20,000 xg로 15분간 원심분리한 상정액을 Diaflo PM10 Ultrafiltration Membrane (Mw. cutoff; 10,000)을 부착한 Amicon Diaflo system을 사용하여 질소기류하에서 가압, 농축한 후 효소액으로 사용하였다.

### $\beta$ -Galactosidase의 분리 및 정제

효소의 분리 및 정제를 위하여 효소액 10 ml를 CM-cellulose column (2.0×35 cm)에 주입한 다음 0~1.0

M NaCl linear gradient, 유속 0.25 ml/min하여 20분 간격으로 분획하여  $\beta$ -galactosidase를 분리하였다. 분리된 효소액은 Diaflo PM10 Ultrafiltration Membrane (Mw. cutoff; 10,000)을 부착한 Amicon Diaflo System을 사용하여 질소기류하에서 가압, 농축하였다. 농축한 효소액을 10 mM 초산나트륨 완충용액(pH 4.5)으로 평형시킨 Sephadryl S-200 column (2.0×35 cm)에 10 ml를 주입하여 유속 0.25 ml/min, 20분 간격으로 분획하였으며, 정제된 효소액은 전기영동으로 분자량을 확인하였다.

### Gel여과에 의한 효소의 분자량 측정

효소의 분자량은 Whitaker(16)의 방법에 따라 Sephadryl S-200 젤 여과 크로마토그래피로 측정하였다. 먼저 Sephadryl S-200 column (2.0×35 cm)을 10 mM 초산나트륨 완충용액으로 평형시켜 void column (Vo)을 구하고, column을 완전히 세척한 후 표준단백질을 column에 주입하여 각각의 elution volume (Ve)을 구한 다음 표준단백질의 분자량에 대한 Ve/Vo를 도시한 겹량선에 의해서 각 효소의 분자량을 측정하였다. 이때 표준단백질은 cytochrome c(Mw. 12,400), carbonic anhydrase (Mw. 29,000), albumin (Mw. 66,000), phosphorylase b (mw. 94,000), alcohol dehydrogenase (Mw. 150,000)와  $\beta$ -amylase (Mw. 200,000)를 사용하였다.

### $\beta$ -Galactosidase의 생화학적 특성

$\beta$ -Galactosidase의 Km 값과 Vmax 값은  $\rho$ -nitrophenyl- $\beta$ -galactopyranoside의 농도에 따라 측정하여 Lineweaver-Burk plots으로 구하였다. 최적온도와 최적 pH는 반응온도와 pH에 변화를 주어 효소활성을 측정하여 조사하였고, 온도에 대한 열 안정성은 효소를 여러 온도에서 10분간 열처리후 냉각시켜 잔존하는 효소의 활성을 측정하였다. pH에 대한 안정성은 효소액을 4°C에서 10시간동안 pH 2.0~10.0사이의 완충용액으로 각각 투석한 후 pH 4.0에 잔존하는 효소의 활성을 측정하였다. 효소활성에 미치는 금속이온, sodium dodecylsulfate (SDS), ethylene diamine tetra acetic acid (EDTA)의 영향은 최종농도가 효소반응액의 1 mM되게 제조하여 각 금속 이온과 SDS, EDTA에 의한 효소활성의 변화를 측정하였다.

## 결과 및 고찰

### 효소의 분리와 정제

딸기의 연화와 관련이 깊은 것으로 사료되는  $\beta$

$\beta$ -galactosidase를 gel과 ion exchange column chromatography를 이용하여 분리·정제하였다. 딸기에서 추출한 효소액을 CM-cellulose column으로 분리한 결과는 Fig. 1과 같았다. Fraction No. 27~38에서 한 개의 활성 peak가 확인되었다. 이 분획한 효소액을 모아 Diaflo PM10 ultrafiltration membrane을 사용하여  $N_2$  가압하에서 Amicon Diaflo system으로 농축한 다음 Sephadryl S-200 column으로 분리한 결과는 Fig. 2와 같았다. Fraction No. 19~25에서 한 개의 peak가 확인되었다.

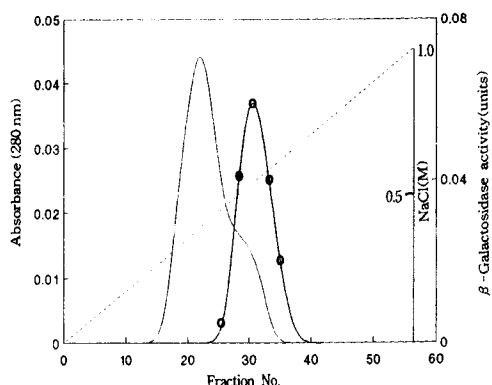


Fig. 1. Elution profile of  $\beta$ -galactosidase extracted from strawberries on CM-cellulose column.  
Column size; 2.0×35cm, flow rate; 0.25ml/min, buffer gradient: ---, Absorbance at 280nm; ——,  $\beta$ -galactosidase; ●—●.

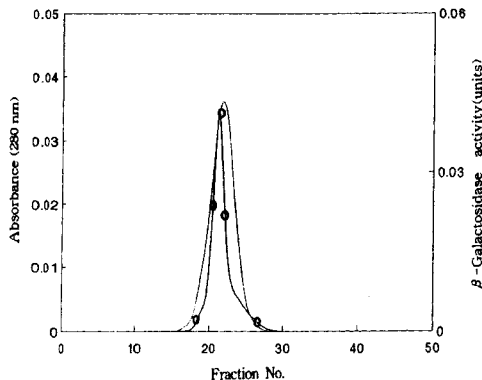


Fig. 2. Elution profile of  $\beta$ -galactosidase fraction from CM-cellulose on Sephadryl S-200 column.  
Column size; 2.0×35cm, flow rate; 0.25ml/min,  
Absorbance at 280nm; ——,  $\beta$ -galactosidase; ●—●.

조효소액을 CM-cellulose와 Sephadryl S-200 column으로 정제한 결과는 Table 1과 같았다. 조효소액을 aceton powder 처리시 효소액은 약 1.14배가 정제되었고  $(NH_4)_2SO_4$ 로 처리시 2.09배가 정제되었다. CM-cellulose

column으로 정제한  $\beta$ -galactosidase는 비활성도가 26.38 units/mg-prot.이었으며 정제율은 29.20%, 5.90배이었다. Sephadryl S-200 column으로 정제한 후 효소액은 비활성도가 115.08 units/mg-prot.이었고 정제율은 각각 18.11%, 25.74배이었다.

Table 1. Summary of the purification of  $\beta$ -galactosidase extracted from strawberries

Purification steps	Total activity (units)	Protein content (mg)	Specific activity (units/mg protein)	Recovery (%)	Purification (fold)
Crude extract	38.11	8.52	4.47	100.00	1.00
Aceton powder	24.16	4.76	5.13	63.39	1.14
$(NH_4)_2SO_4$ treatment	22.71	2.42	9.37	59.58	2.09
CM-cellulose	11.13	0.42	26.38	29.20	5.90
Sephadryl S-200	6.90	0.06	115.08	18.11	25.74

### 효소의 분자량 측정

$\beta$ -Galactosidase의 분자량을 측정하기 위해 표준단백질과 효소를 Sephadryl S-200 column에 주입하여 분획한 결과는 Fig. 3과 같았다.  $\beta$ -Galactosidase의 분자량은 116,000 dalton이었다. 신 등(17)은 간에서 정제한  $\beta$ -galactosidase의 분자량은 115,000 dalton이라고 하였다.

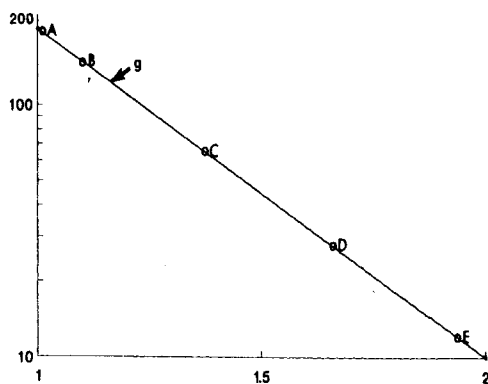


Fig. 3. Determination of molecular weight of  $\beta$ -galactosidase extracted from strawberries by Sephadryl S-200 gel filtration.

Ve: void column, Ve: elution volume of each protein. A:  $\beta$ -amylase(Mw. 200,000), B: alcohol dehydrogenase(Mw. 150,000), C: albumin(Mw. 66,000), D: carbonic anhydrase(Mw. 29,000), E: cytchrome c(Mw. 12,400), g:  $\beta$ -galactosidase.

### $\beta$ -Galactosidase의 생화학적 특성

기질(p-nitrophenyl- $\beta$ -galactoside)농도에 따른  $\beta$ -galactosidase의 활성변화를 Fig. 4에 Lineweaver-Burk

plots으로 나타내었다. 효소의  $K_m$ 치는  $1.75 \times 10^{-2}$  mM이었고  $V_{max}$ 는 0.077 mM ONPG/ml 15min이었다.

Fig. 5는  $\beta$ -galactosidase의 반응시간에 따른 활성변화를 측정한 결과이다.  $\beta$ -galactosidase의 활성은 60분 이후 급격히 상승하여 120분에 최대속도에 도달았음을 알 수 있었다.

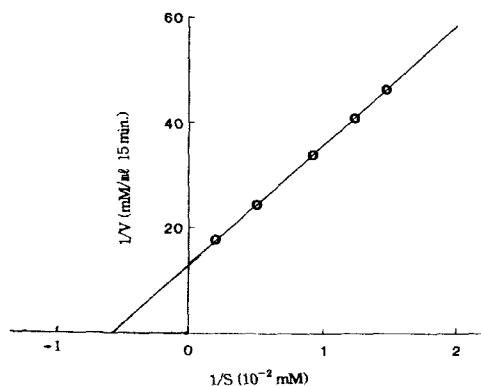


Fig. 4. Lineweaver-Burk plots of  $\beta$ -galactosidase extracted from strawberries.

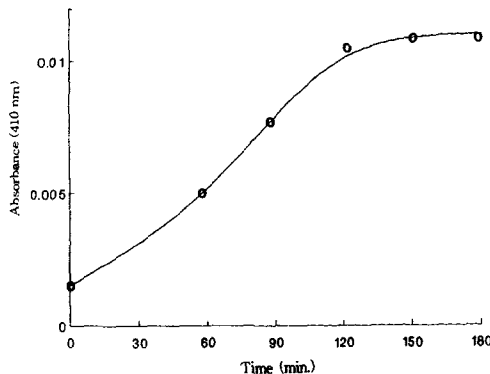


Fig. 5. Time course on the activities of  $\beta$ -galactosidase.

Fig. 6은 pH에 따른  $\beta$ -galactosidase 활성변화를 나타내었다. 딸기의 최적 pH는 4.3이었고 pH 7.0 이상에서는 거의 활성을 나타내지 않았다. 신(18)은 감의  $\beta$ -galactosidase 최적 pH는 4.2라고 하였고, Pressey(11)는 토마토의  $\beta$ -galactosidase의 최적 pH는 isoenzyme의 종류에 따라 차이는 있지만 pH 4.0~5.5이라고 보고하였다. 지금까지 발표되고 있는  $\beta$ -galactosidase의 최적 pH는 과실의 종류에 따라 약간의 차이는 있으나 pH 4.0~5.0사이이며 딸기의  $\beta$ -galactosidase의 최적 pH와도 유사했다.

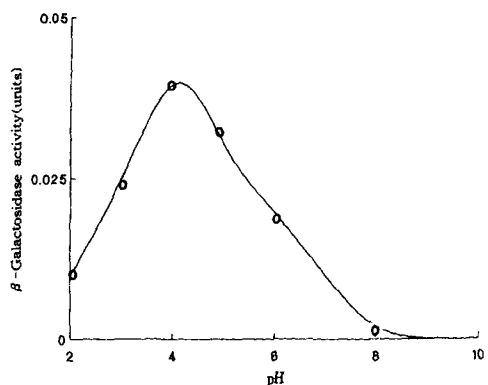


Fig. 6. Effects of pH on the activities of  $\beta$ -galactosidase.

Fig. 7은  $\beta$ -galactosidase 활성에 미치는 온도의 영향을 나타내었다.  $\beta$ -galactosidase의 최적온도는 40°C이었다. 이는 감(18)의 45°C보다는 낮은 온도였으며 Ranwala 등(19)의 Muskmelon의 최적온도 60°C보다는 낮은 온도였다.

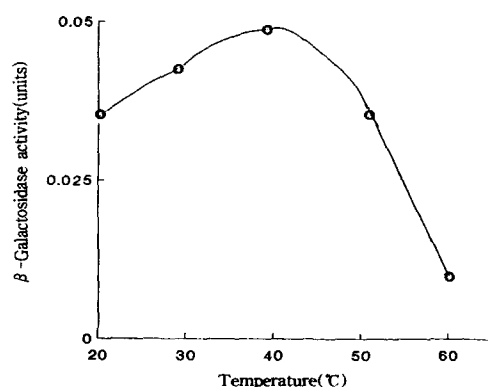


Fig. 7. Effects of temperature on the stability of  $\beta$ -galactosidase.

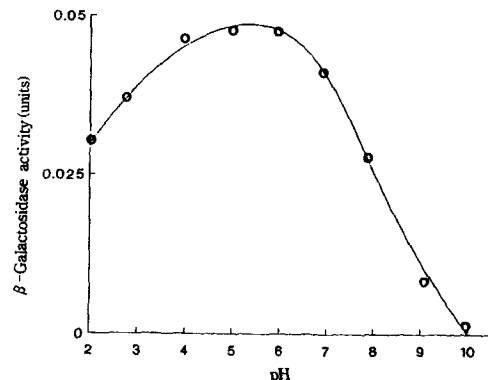


Fig. 8. Effects of pH on the stability of  $\beta$ -galactosidase.

$\beta$ -Galactosidase의 pH에 대한 안정성을 조사한 결과는 Fig. 8과 같았다.  $\beta$ -Galactosidase는 pH 4.0~6.0에서 안정하였다. 이후는 활성이 떨어져 pH 9.0에서는 활성이 거의 나타나지 않았다. 신(18)은 감에서 분리한  $\beta$ -galactosidase는 pH 3.0~6.0에서 안정하다고 보고했는 데 이러한 결과는 딸기의  $\beta$ -galactosidase의 pH에 대한 안정성과는 차이를 나타내고 있다.

Fig. 9는  $\beta$ -galactosidase의 열처리에 따른 안정성을 나타내었다. 열처리에 따른 안정성은 40 °C까지는 안정하였고 50 °C에서는 1/3정도의 활성을 나타냈으며 60 °C에서는 활성을 측정할 수 없었다. Ranwala(19) 등의 Muskmelon보다는 낮은 온도에서 안정성을 나타내었으며 감(18)이나 사과(7)중의  $\beta$ -galactosidase 활성 적온과는 비슷한 결과를 보였다.

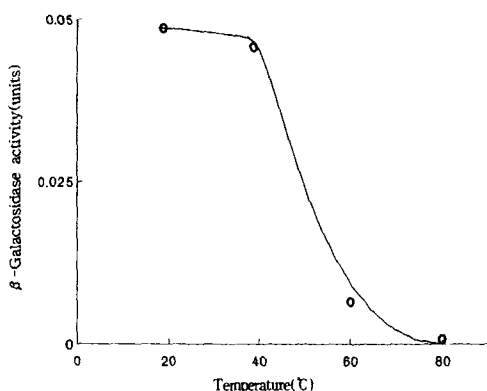


Fig. 9. Effects of heat treatment on the stability of  $\beta$ -galactosidase.

Table 2는 금속이온과 SDS, EDTA가  $\beta$ -galactosidase의 활성이 미치는 영향을 조사한 결과이다.  $\beta$ -Galactosidase의 활성은  $K^+$ ,  $Cu^{2+}$ ,  $Zn^{2+}$ 의 금속이온에 의해 저해 받았으며, SDS는 40%, EDTA는 20~30%의 저해작용을 나타내었고  $Ca^{2+}$ 과  $Mg^{2+}$ 은 저해작용이 없었다.

Table 2. Effects of various additives on the activities of  $\beta$ -galactosidase

Additives	Relative activity (%)
None	100.0
$K^+$	85.2
$Cu^{2+}$	93.0
$Ca^{2+}$	100.0
$Zn^{2+}$	92.4
$Mg^{2+}$	105.2
SDS	59.0
EDTA	73.0

$K^+$ ;  $K_2SO_4$ ,  $Cu^{2+}$ ;  $CuSO_4$ ,  $Ca^{2+}$ ;  $CaCl_2$ ,  $Zn^{2+}$ ;  $ZnCl_2$ ,  $Mg^{2+}$ ;  $MgCl_2$ .

## 요약

딸기의  $\beta$ -galactosidase 정제는 ammonium sulfate 처리, acetone powder 처리와 CM-cellulose column과 sephacryl S-200 column을 사용했으며, 정제률은 18.11%였고,  $\beta$ -galactosidase의 분자량은 116,000이었다.  $\beta$ -Galactosidase를 기질농도에 따라 활성변화를 측정한 결과  $K_m$ 치는  $1.75 \times 10^{-2}$  mM이었고  $V_{max}$ 는 0.77 mM ONPG/mU 15min이었다. 효소활성의 최적온도는 43 °C이고 최적pH는 4.0이었으며 50 °C이하에서는 효소활성의 안정성을 보였다. pH에 대한 안정성 조사결과 pH 4.0~6.0에서 안정했다. 또한  $\beta$ -galactosidase는 금속이온  $K^+$ ,  $Cu^{2+}$ ,  $Zn^{2+}$ 에 의해 활성 저해를 보였으며  $Ca^{2+}$ 과  $Mg^{2+}$ 는 저해작용을 나타내지 않았다. SDS는 40%, EDTA는 20~30%의 활성저해를 나타내었다.

## 참고문헌

- Biale, J.B. and Young, R.E. (1981) Respiration and ripening in fruits- retrospect and prospect, Recent Advances in the Biochemistry of Fruit and Vegetables. John F. and Rhodes, M.J.C. Academic Press, London, 2-12
- Wallner, S.J. and Walker, J.E. (1979) Glycosidase in cell wall-degrading extracts of ripening tomato fruits, *Plant & Cell Physiol.*, 20(2) 311-321
- Hobson, G.E. (1981) Enzymes and texture changes during ripening, Recent Advances in the Biochemistry of Fruit and Vegetables. John F. and Rhodes, M.J.C. Academic press, London, p.123-132
- Bartley, I.M. (1974)  $\beta$ -Galactosidase activity in ripening apple. *Phytochemistry*, 13, 2107-2111
- Bartley, I.M. (1977) A further study of  $\beta$ -galactosidase activity in apple ripening in storage. *J. Exper. Bot.*, 28, 943-948
- Wallner S.J. and Bloom, H.L. (1977) Characteristics of tomato cell wall degradation *in vitro*. Implication for the study of fruit softening enzymes. *Plant Physiol.*, 60, 207-210
- Bartley, I.M. (1977) A further study of  $\beta$ -galactosidase activity in apple ripening in storage. *J. Exper. Bot.*, 28, 943-948
- Groos, K.C. and Wallner, S.J. (1979) Degradation of cell wall polysaccharides during tomato fruit ripening.

- Plant Physiol.*, 63, 117-120
9. 김광수, 신승렬, 송준희, 정용진 (1995) 세포벽분해 효소의 처리에 따른 감과실의 세포벽 구성비섬유 성 증성당의 변화. *한국식품영양과학회지*, 24(2), 247-253
  10. Knee, M., Sargent, J.A. and Osborne, D. J. (1977) Cell wall metabolism in developing strawberry fruits. *J. Experimental Botany*, 28(103), 377-396
  11. Pressey, R. (1983)  $\beta$ -Galactosidase in ripening tomatoes. *Plant Physiol.*, 71, 132-135
  12. Kang, I.K., Suh, S. G. , Gross, K.C. and Byun, J.K. (1994) N-terminal amino acid sequence of persimmon fruit  $\beta$ -galactosidase. *Plant Physiol.*, 105, 975-979
  13. Proctor, A. and Peng, L.C. (1989) Pectin transitions in blue berry fruit development and ripening. *J. Food Sci.*, 54, 385-387
  14. Kim, J.K., Gross, K.C. and Solmos, T. (1991) Galactose metabolism and ethylene production during development and ripening of tomato fruit. *Postharvest Biology and Technology*, 1, 67-72
  15. Yamamoto, R., Inouhe, M. and Masuda, Y. (1988) Galactose inhibition of auxin induced growth of mono and dicotyledonous plants. *Plant Physiol.*, 86, 1223-1227
  16. Whitaker, J.R. (1963) Determination of molecular weights of proteins by gel filtration on sephadex. *Anal. Chem.*, 35, 1950-1954
  17. 신승렬, 하유덕, 김진구, 김순동, 김광수 (1990) 감과실의 성숙과 추숙중의  $\beta$ -Galactosidase 활성 변화 및 특성. *한국식품영양과학회지*, 19(6), 605-611
  18. 신승렬 (1988) 감과실의 연화시 세포벽 구성성분, 효소활성, 단백질 및 조직변화에 관한 연구. 영남대학교 대학원 박사학위논문
  19. Ranwala, A.P., Chiayki, S. and Hiroshi, M. (1992) The role of  $\beta$ -galactosidase in the modification of cell wall components during muskmelon fruit ripening. *Plant Physiol.*, 100, 1318-1325

---

(접수 2000년 3월 29일)